

УДК 533.607.11

ИССЛЕДОВАНИЕ ИНВЕРСИИ СРЕДЫ КВАЗИСТАЦИОНАРНОГО
CO₂ ОКГ С «ИМПУЛЬСНЫМ» ВОЗБУЖДЕНИЕМ

И. Ф. Канаев, Э. П. Кругляков, В. К. Малиновский
(Новосибирск)

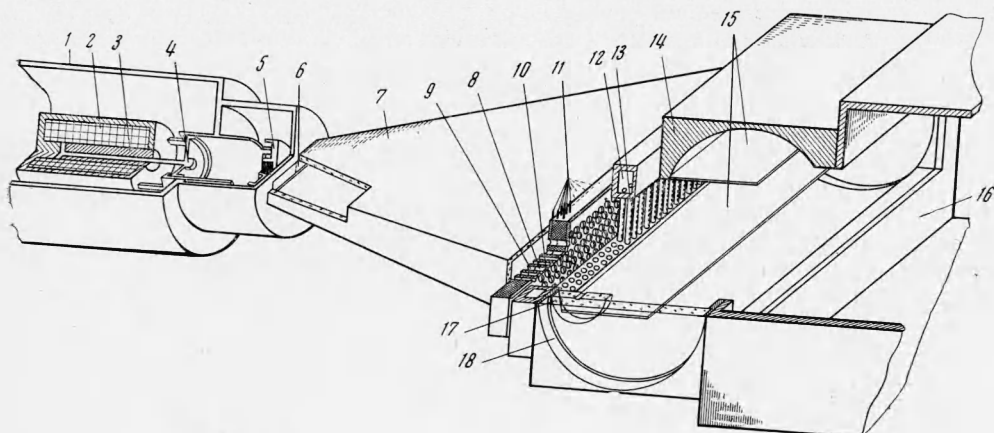
Приводятся результаты исследования инверсной среды квазистационарного CO₂ ОКГ, отличительная особенность схемы возбуждения которого состоит в том, что время пролета отдельных молекул через разрядные промежутки меньше времени релаксации лазерного уровня 00¹ CO₂. Измерены мощность генерации, коэффициент усиления, интенсивность насыщения, температура газа. С учетом экспериментальных данных вычислено распределение молекул инверсной среды по колебательным и вращательным состояниям.

Максимальная плотность мощности, достигаемая в описанной экспериментальной модели, составляет 25 вт/см³.

Для сравнения исследованы характеристики модели с подачей холодного CO₂ в поток возбужденного азота. Показано, что в последнем случае уровень выходной мощности определяется эффективностью перемешивания струй.

В [1] кратко описана модель квазистационарного CO₂ ОКГ с «импульсной» накачкой. Основная особенность подобной схемы возбуждения среды состоит в том, что время пролета отдельных молекул через область квазистационарного разряда меньше времени релаксации верхнего лазерного уровня CO₂ и для каждого малого элемента объема газа процесс возбуждения имеет импульсный характер. В этом случае, как показали расчеты [2] и предварительные эксперименты [1], инверсия значительно выше достигаемой в стационарном режиме. Детальное исследование свойств инверсной среды было целью данной работы.

Схема экспериментальной установки изображена на фиг. 1, на которой 1—5 — детали импульсного клапана; 6 — критическое сечение сопла 7; 9—10 — электроды; 8 — изолятор; 11 — подводы напряжения к разрядным электродам; 12 — распределительная камера смесительной системы;

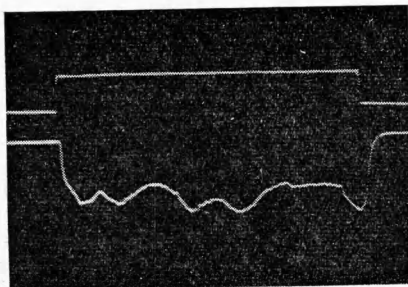


Фиг. 1

13 — трубки смесительной секции; 14 — камера для исследования состояния инверсной среды; 15 — направляющие для ограничения потока газа; 16 — бустерный объем; 17 — зеркало резонатора; 18 — окно из NaCl. Рабочая смесь газов $\text{CO}_2 - \text{N}_2 - \text{He}$ приготавлялась в камере 1. Быстро действующий клапан открывал камеру 1, соединяя ее с соплом 7. Газовая смесь, проходя через сопло, разгонялась до скорости $v_0 = 5 \cdot 10^4 \text{ см/сек}$. После достижения установившегося режима течения на разрядные промежутки 8 длиной $l = 1 \text{ см}$ подавался прямоугольный импульс напряжения длительностью $\tau = (5 \div 20) \cdot 10^{-3} \text{ сек}$. Максимальная длительность этого импульса определялась геометрическими размерами вакуумного объема 16, играющего роль насоса с большой производительностью.

Скорость течения газа и длина каналов определяют время $\tau_l = l/v_0$ пребывания отдельных молекул в разряде которых выполняется условие $\tau_l < \tau_{\text{ген}}^{\text{CO}_2}$.

Характеристики газа, прошедшего через разрядные промежутки, анализировались в камере 14. Измерялась плотность газа, скорость движения потока, делались оценки температуры и состояния инверсии. Основные методы диагностики — оптическая интерферометрия, наблюдение



Фиг. 2

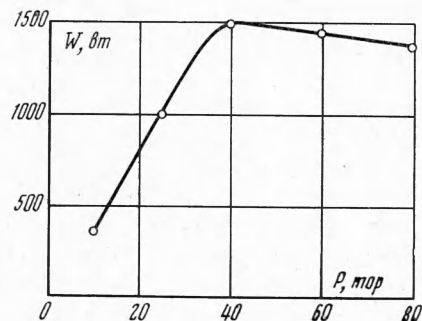
и диапазон концентраций, для которых выполняется условие $\tau_l < \tau_{\text{ген}}^{\text{CO}_2}$.

Характеристики газа, прошедшего через разрядные промежутки, анализировались в камере 14. Измерялась плотность газа, скорость движения потока, делались оценки температуры и состояния инверсии. Основные методы диагностики — оптическая интерферометрия, наблюдение рэлеевского рассеяния света, проходящего через поток газа, зондирование среды маломощным и мощным источниками излучения с $\lambda = 10.6 \mu$, наблюдение генерации и измерение энергии индуцированного излучения.

Типичный вид осциллограмм напряжения (вверху) на разрядном промежутке и импульса генерации (внизу) показан на фиг. 2. Генерация достигает максимума спустя $(5 \div 100) \cdot 10^{-6} \text{ сек}$ с момента подачи напряжения на электроды и поддерживается на одном уровне в течение всего импульса. Длительность импульса напряжения значительно превышает все характерные времена процесса (времена релаксации верхнего и нижнего лазерных уровней, время пролета газа через область разряда и резонатора), т. е. выполнены условия стационарного режима.

Зависимость мощности генерации от давления рабочей смеси при соотношении компонент $\text{CO}_2 : \text{N}_2 : \text{He} = 1 : 3 : 6$ показана на фиг. 3. Экспериментальные точки получены при оптимальном для каждого давления смеси токе разряда, который возрастал примерно пропорционально давлению. При $N_{\Sigma} \approx 1.3 \cdot 10^{18} \text{ см}^{-3}$ (что соответствует приведенному давлению $p^* = 40 \text{ torr}$ при комнатной температуре) кривая насыщается и дальнейший рост плотности приводит к некоторому падению уровня выходной мощности.

Измерения коэффициента усиления по слабому сигналу (α_0) осуществлялись с помощью маломощного стационарного CO_2 лазера на переходе P20. Для оптимального режима ($p^* \approx 40 \text{ torr}$) коэффициент усиления $\alpha_0 = 1.3 \cdot 10^{-2} \text{ см}^{-1}$. В пределах резонатора наблюдается незначительное ($\sim 3\%$) уменьшение α_0 с удалением от разрядных каналов.



Фиг. 3

Температура в потоке газа определялась по данным интерферометрических измерений. Оценки сделаны в предположении постоянства $N_{\Sigma}T$ по сечению камеры. В этом случае по распределению концентрации можно восстановить распределение температур. В оптимальном режиме температура газа в резонаторе $T = 500^{\circ}\text{K}$.

Для выяснения предельных энергетических характеристик инверсной среды одновременно с α_0 в каждом цикле работы установки измерялась интенсивность насыщения I_H . Максимальные плотности мощности пучка в этих экспериментах достигали $2 \text{ квт}/\text{см}^2$ при стационарной работе зондирующего ОКГ (диаметр диафрагмы, обрезающей пучок, 2 мм) и $3 \text{ квт}/\text{см}^2$ (диаметр диафрагмы 4 мм) в импульсном ($\tau \approx 5 \cdot 10^{-2} \text{ сек}$) режиме. При $p^* = 40 \text{ тор}$ измеренная интенсивность насыщения составляла $2.8 \text{ квт}/\text{см}^2$.

Результаты экспериментов позволяют сделать некоторые выводы о свойствах инверсной среды. В режиме, когда резонатор излучает максимальную мощность, $\alpha_0 = 1.3 \cdot 10^{-2} \text{ см}^{-1}$, $T_g = 500^{\circ}\text{K}$. Температура газа находится в равновесии с вращательной температурой. Можно считать также, что существует равновесие между возбужденными молекулами N_2 и CO_2 , поскольку масштаб времени передачи возбуждения от N_2^* ($v = 1$) к CO_2 ($00^{\circ}0$) в рассматриваемом случае порядка нескольких микросекунд, а время пролета через резонатор $d/v_0 = 80 \cdot 10^{-6} \text{ сек}$.

Имеющихся данных достаточно для того, чтобы найти распределение молекул инверсной среды по колебательным и вращательным уровням (табл. 1).

Таблица 1

$\Delta n, \text{ см}^{-3}$	$n_{00^{\circ}1}^{19}, \text{ см}^{-3}$	$n_{10^{\circ}0}^{20}, \text{ см}^{-3}$	$N_{00^{\circ}1}, \text{ см}^{-3}$	$N_{10^{\circ}0}, \text{ см}^{-3}$	$N_{\text{CO}_2^0}, \text{ см}^{-3}$	$N_{\text{N}_2^*}, \text{ см}^{-3}$	$\frac{N_{00^{\circ}1}}{N_{\text{CO}_2^0}}$
$9.1 \cdot 10^{14}$	10^{15}	$9.3 \cdot 10^{13}$	$1.7 \cdot 10^{16}$	$1.6 \cdot 10^{15}$	$8.6 \cdot 10^{16}$	$6.45 \cdot 10^{16}$	0.2

При вычислениях заселеностей вероятность спонтанного излучения по переходу P20 принималась равной $A_{10^{\circ}20}^{00^{\circ}1,19} = 0.17 \text{ сек}^{-1}$ [3], а величина форм-фактора для центра линии, определяемая в данном случае ударным уширением, $S(v_0) = 1.9 \cdot 10^{-9} \text{ сек}$.

В оптимальном режиме значительная часть энергии колебательного возбуждения молекул ($\text{N}_2^* (v = 1) + \text{CO}_2^0 00^{\circ}1$) преобразуется в излучение в пределах резонатора. Об этом свидетельствует тот факт, что при работе с двумя резонаторами, разнесенными на 25 см , мощность, излучаемая вторым (далким) резонатором, снижается на порядок при включении первого. Плотность возбужденных молекул, которые могут принять участие в генерации, $N_{\text{N}_2^*} + N_{\text{CO}_2^0} = 8.2 \cdot 10^{16} \text{ см}^{-3}$. Отметим, что учет вклада верхних колебательных уровней возбужденного азота ($v = 2 \div 8$) и $\text{CO}_2^0 m (m > 1)$ должен привести к поправке $\sim 20\%$. Если предположить, что энергия всех возбужденных молекул преобразуется в стимулированное излучение в пределах резонатора, то можно оценить максимальную мощность, которую способна развить инверсная среда

$$P_{\max} = 10^{-7} h v_0 d L v_0 (N_{\text{N}_2^*} + N_{\text{CO}_2^0}) = 9.4 \cdot 10^3 \text{ вт}$$

где d — поперечник резонатора.

Предельную мощность, отдаваемую системой, принято характеризовать произведением $\alpha_0 I_H V$ (V — объем резонатора). Для оптимального режима $P_{\alpha_0 I_H} = 14 \cdot 10^{-3} \text{ вт}$. Превышение $P_{\alpha_0 I_H}$ над P_{\max} связано с тем, что в условиях эксперимента запас колебательной энергии ($N_{\text{N}_2^*} + N_{\text{CO}_2^0}$)

ограничен, а механизм стационарной подкачки отсутствует. Это приводит к изменению параметров инверсной среды по попечнику резонатора.

Как видно из фиг. 3, максимальная мощность, зарегистрированная в эксперименте, составляет 1.5 квт . Если предположить, что параметры инверсной среды существенно не меняются при движении через резонатор, то с учетом реальных потерь в последнем предельная мощность, которая могла бы быть выведена из ОКГ, равна

$$W_1 = \frac{\pi d^2 I_H \tau}{4(2-\tau)} \left[\frac{\alpha_0 L}{\ln[(1-\tau)(1-\eta)]^{-1/2}} - 1 \right]$$

Здесь η — суммарные диссипативные потери в резонаторе ($\eta \approx 10 \cdot 10^{-2}$), τ — коэффициент пропускания выходного зеркала резонатора ($\tau \approx 20 \cdot 10^{-2}$). Коэффициент $(2 - \tau)$ учитывает два направления распространения излучения.

При указанных выше параметрах резонатора $W_1 = 5.4 \cdot 10^3 \text{ вт}$. Различие между величиной W_1 и экспериментальным значением W_2 связано с тем, что расчет W_1 не учитывает значительного изменения инверсии при движении среды через резонатор.

Соответствие между экспериментом и приведенными оценками дает возможность назвать в качестве предельной плотности мощности, которую способна отдать данная среда, величину $W_{\max} = 25 \text{ вт}/\text{см}^3$.

Сравним описанный выше способ возбуждения с методом независимой инъекции холодного CO_2 в струю возбужденного азота [3]. Преимущества последнего способа возбуждения очевидны: в этом случае исчезает опасность диссоциации молекул CO_2 и можно повысить вклад мощности в разряд, увеличив тем самым концентрацию колебательно возбужденного азота.

Инъекция холодного CO_2 была осуществлена в описанной выше схеме. Принцип действия использовавшейся системы смешения понятен из фиг. 1. Азот с добавкой или без добавки гелия возбуждался в каналах 8. CO_2 нагнетался в трубки 13 и через отверстия в них (диаметр отверстий 1 мм) вытекал в камеру. Струя возбужденного азота всасывала CO_2 и передача возбуждения осуществлялась при движении смеси газов вниз по потоку.

В табл. 2 приведены основные характеристики оптимальных режимов работы модели с совместной и независимой инъекцией CO_2 .

Таблица 2

Инъекция CO_2	Концентрация, см^{-3}			Мощность, подводимая к разряду, вт	$\alpha_0 L$	I_H , $\text{квт}/\text{см}^2$	$\alpha_0 I_H$, $\text{вт}/\text{см}^3$
	CO_2	N_2	Не				
Совместная	$1.3 \cdot 10^{17}$	$3.9 \cdot 10^{17}$	$7.8 \cdot 10^{17}$	$2.7 \cdot 10^5$	0.39	2.8	36
Независимая	$1.5 \cdot 10^{17}$	$4 \cdot 10^{17}$	—	$2.7 \cdot 10^5$	0.59	2.15	50
Независимая	$3 \cdot 10^{17}$	$8 \cdot 10^{17}$	—	$4 \cdot 10^5$	0.41	2.8	36

¹ Приведены средние значения концентрации CO_2 из интерферометрических измерений

$$N_{\text{CO}_2} = \frac{1}{L} \int_0^L N(x) dx$$

Как видно из таблицы, оптимальные режимы довольно близки по своим параметрам. Следует отметить, что в случае независимого смешения гелий не является необходимым компонентом рабочей смеси.

Максимальное значение произведения $\alpha_0 I_H$ достигается при сравнительно малых плотностях. С ростом плотности интенсивность насыщения несколько возрастает, но снижение коэффициента усиления по слабому сигналу приводит в среднем к уменьшению произведения $\alpha_0 I_H$. Добавление гелия к возбуждаемому разрядом азоту увеличивает коэффициент усиления по слабому сигналу, но интенсивность насыщения при этом уменьшается и произведение $\alpha_0 I_H$ меньше, чем без гелия.

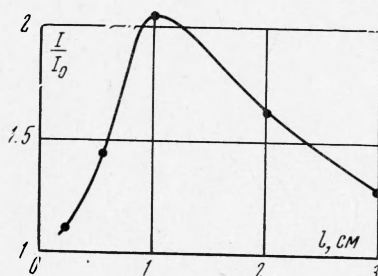
Параметры, достигнутые в схеме с независимым смешением газов, не являются предельными. Эффективность передачи возбуждения колебательной энергии оказывается довольно низкой из-за плохого смешения газов.

Присутствие плохо перемешивающихся струй газов с различными показателями преломления приводит к возникновению рефракционных эффектов, которые легко обнаруживаются при исследовании генерации. Несмотря на значительное усиление среды, в большинстве режимов генерация не наблюдается в первом резонаторе и наблюдается во втором (далнем). Если известны τ , α_0 , I_H , то по измеренной мощности генерации можно оценить величину эффективных распределенных потерь, обвязанных рефракцией. Для режима, соответствующего третьей строке табл. 2, уровень потерь $\delta \sim 10^{-2} \text{ см}^{-1}$ в области дальнего резонатора.

Присутствие неоднородностей вследствие плохого перемешивания наиболее наглядно проявляется при больших давлениях. На фиг. 4 показана зависимость усиления по слабому сигналу от расстояния до выхода из разрядных каналов для струи с $p = 1 \text{ atm}$. Наличие максимума на кривой усиления связано с конкуренцией двух процессов: смешения струй, приводящего к росту инверсии, и совместной релаксации молекул возбужденного N_2 и CO_2 . Оценки времени релаксации смеси ($\text{CO}_2 : \text{N}_2 = 1 : 1$) показывают [4], что инверсия должна исчезнуть на расстоянии нескольких миллиметров от выпускных отверстий. Существование значительного усиления на расстоянии $l = 3 \text{ см}$ свидетельствует о крайне плохом перемешивании. Отметим, что при значительном коэффициенте усиления α_0 ($\alpha_0 = 3.5 \cdot 10^{-2} \text{ см}^{-1}$) генерация в этом случае вообще не наблюдается. Отсутствие генерации можно объяснить только наличием больших градиентов плотности, приводящих к расстройке резонатора. При характерном размере струй $2R \approx 0.3 \text{ см}$ отклонение луча за счет разности показателей преломления CO_2 и N_2 на длине $L = 20 \text{ см}$ $\phi \sim L(n_{\text{CO}_2} - n_{\text{N}_2}) / R$ может достигать одного градуса (n_{CO_2} , n_{N_2} — показатели преломления CO_2 и N_2 , R — масштаб неоднородности).

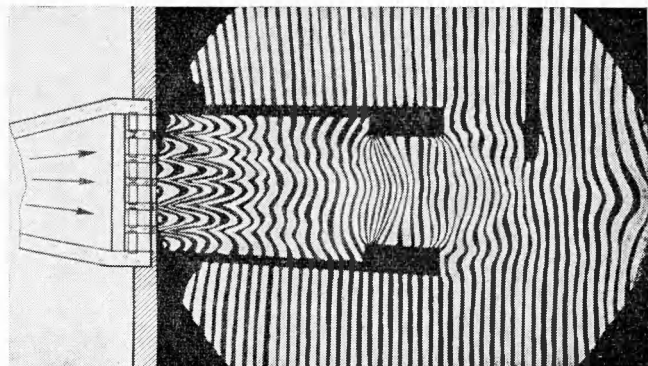
Из приведенных данных следует, что в системах с независимым смешением не удается полностью использовать запас колебательной энергии возбуждения из-за плохого взаимопроникновения струй. Для улучшения энергетической эффективности следует стремиться к уменьшению диаметра исходных струй и турбулизации перемешивания.

В случае, когда заранее приготовленная смесь прогоняется через разрядные промежутки, ситуация существенно упрощается, поскольку N_2^* ($v = 1$) и CO_2^{00} ⁰¹ находятся в равновесии в любой точке среды. Следует обратить внимание на трудность другого рода, возникающую при возбуждении смеси в разрядных каналах конструкции, изображенной на фиг. 1. Эта трудность связана с неравномерностью распределения тока по радиусу канала.



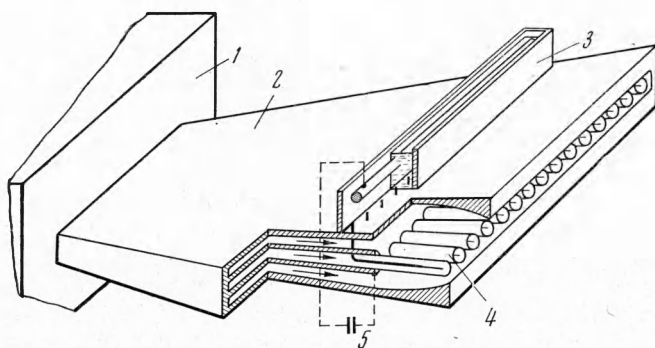
Фиг. 4

На фиг. 5 приведена интерферограмма поля течения при $p^* = 40 \text{ torr}$, иллюстрирующая неоднородность распределения плотности на выходе из разрядных промежутков. Плотность газа по оси канала примерно вдвое выше, чем по периферии, что свидетельствует о более низкой температуре на оси. Такой вид распределения плотности газа заставляет предположить,



Фиг. 5

что разряд горит преимущественно в пристеночной области, вследствие чего теплопередача на стенки может быть значительной, а эффективность возбуждения смеси уменьшается. Как показывают оценки, отношение полной энергии, содержащейся в газе (колебательной, вращательной и тепловой), к энергии, подведенной к разряду, составляет в этом случае 50%.



Фиг. 6

Неоднородность распределения тока по сечению канала не является принципиальным эффектом. Неоднородность отсутствует в конструкции, изображенной на фиг. 6, которая была использована при больших давлениях с выходом газовой струи непосредственно в атмосферу. Обозначения на фиг. 6 следующие: 1 — резервуары газа, 2 — разгонные участки, 3 — объемное водяное сопротивление для развязки отдельных каналов, 4 — разрядные электроды, 5 — система разрядных каналов. Применение подобной конструкции при умеренных давлениях ($p \sim 0.1 \text{ atm}$) должно существенно улучшить энергетические характеристики ОКГ.

Авторы благодарны В. М. Федорову за полезные дискуссии и А. А. Борыняку, принимавшему участие в подготовке экспериментов.

Поступила 19 VII 1972

ЛИТЕРАТУРА

1. Канаев И. Ф., Кругляков Э. П., Малиновский В. К. Квазистационарный CO₂-ОКГ с «импульсным» возбуждением. ПМТФ, 1971, № 5, стр. 171.
2. Бирюков А. С., Гордиец Б. Ф., Шелепин Л. А. Колебательная релаксация и инверсная заселенность уровней молекул CO₂ в нестационарных условиях. ЖЭТФ, 1969, т. 57, стр. 385.
3. Brown C. O. High-power CO₂ electric discharge mixing laser. Appl. Phys. Letters, 1970, vol. 17, No. 9, p. 388.
4. Moore C. B., Wood R. E., Beilok Hu, Yardley J. T. Vibrational energy transfer in CO₂-lasers. J. Chem. Phys., 1967, vol. 46, No. 11, p. 4222.